

ФЕДЕРАЛЬНОЕ ГОСУДАРСТВЕННОЕ АВТОНОМНОЕ ОБРАЗОВАТЕЛЬНОЕ  
УЧРЕЖДЕНИЕ ВЫСШЕГО ОБРАЗОВАНИЯ

«НАЦИОНАЛЬНЫЙ ИССЛЕДОВАТЕЛЬСКИЙ УНИВЕРСИТЕТ ИТМО»

Университет ИТМО

Отчёт по лабораторной работе № 2

«Проблема собственных значений матрицы»

Выполнил работу:

Демьянов Фёдор Александрович

Академическая группа: № J3114

Санкт-Петербург 2025

## Цель лабораторной работы:

Изучить и реализовать итерационные методы для вычисления собственных и сингулярных чисел матриц цветовых каналов изображения, сравнить эффективность степенного метода и метода вращений Якоби, а также продемонстрировать низкоранговую аппроксимацию SVD при сжатии и восстановлении изображения.

## Задачи:

1. Загрузка изображения формата JPEG (не менее  $640 \times 640$ ) и разбиение на каналы R, G, B.
2. Реализация степенного метода для вычисления ведущего сингулярного числа  $\sigma_1$  и соответствующих сингулярных векторов  $u_1, v_1$  каждого канала. Исследовать сходимость и оценить норму ошибки приближения.
3. Построение полного SVD (NumPy) для каналов, анализ распределения  $\sigma_i$ , выбор  $k$  для усечённого SVD.
4. Реализация метода вращений Якоби для вычисления всех сингулярных чисел одного из каналов, сравнение с SVD и степенным методом по точности и количеству операций.
5. Построение гистограмм глубины цвета для каждого канала, вычисление среднего и стандартного отклонения, анализ связи с числом необходимых  $\sigma_i$ .

## Реализация:

```
## 1. Импорт библиотек
"""

import numpy as np
import matplotlib.image as mpimg
import matplotlib.pyplot as plt
from matplotlib import rc
import seaborn as sns
import pandas as pd

"""## 2. Загрузка изображения и выделение каналов R, G, B

### 2.1 Работа с изображением

Задаем путь до изображения
"""

image_path = 'C:/Users/5fedo/Jupyter/NM/Mass Effect_picture.jpg'

"""Загрузка изображения"""

img = mpimg.imread(image_path)

"""Приводим данные к типу float64 и нормализуем"""

img = img.astype(np.float64) / 255.0

print("Тип данных:", img.dtype)

img.shape

"""Разделим на 3 матрицы"""

R = img[:, :, 0] # красный
G = img[:, :, 1] # зелёный
B = img[:, :, 2] # синий
```

## Загрузка изображения и выделение каналов

## Визуализация:

```
fig, axes = plt.subplots(1, 4, figsize=(16, 4))
axes[0].imshow(img)
axes[0].set_title('Оригинал')
axes[0].axis('off')

axes[1].imshow(R, cmap='gray')
axes[1].set_title('Красный канал (R)')
axes[1].axis('off')

axes[2].imshow(G, cmap='gray')
axes[2].set_title('Зелёный канал (G)')
axes[2].axis('off')

axes[3].imshow(B, cmap='gray')
axes[3].set_title('Синий канал (B)')
axes[3].axis('off')

plt.tight_layout()
plt.show()
```



Рисунок 1. Оригинальное изображение и каналы R, G, B в градациях серого

```
fig, axes = plt.subplots(1, 3, figsize=(12, 4))

axes[0].imshow(R, cmap='Reds')
axes[0].set_title('Красный канал (R)')
axes[0].axis('off')

axes[1].imshow(G, cmap='Greens')
axes[1].set_title('Зелёный канал (G)')
axes[1].axis('off')

axes[2].imshow(B, cmap='Blues')
axes[2].set_title('Синий канал (B)')
axes[2].axis('off')

plt.tight_layout()
plt.show()
```



Рисунок 2. Отдельные цветные представления каналов R, G, B на белом фоне.

```
zeros = np.zeros_like(R)

red_only = np.stack([R, zeros, zeros], axis=2)
green_only = np.stack([zeros, G, zeros], axis=2)
blue_only = np.stack([zeros, zeros, B], axis=2)

fig, axes = plt.subplots(1, 3, figsize=(12, 4))

axes[0].imshow(red_only)
axes[0].set_title('Красный канал (R)')
axes[0].axis('off')

axes[1].imshow(green_only)
axes[1].set_title('Зелёный канал (G)')
axes[1].axis('off')

axes[2].imshow(blue_only)
axes[2].set_title('Синий канал (B)')
axes[2].axis('off')

plt.tight_layout()
plt.show()
```



Рисунок 3. Отдельные цветные представления каналов R, G, B на черном фоне.

```
def step_method_for_svd(A: np.ndarray, num_iters: int = 500, tol: float = 1e-6, verbose: bool = False):

    # Размеры A
    m, n = A.shape

    # Инициализируем правый сингулярный нормированный вектор v случайным образом
    v = np.random.randn(n).astype(np.float64)
    v = v / np.linalg.norm(v)

    sigma_vals = []

    # Итеративный процесс:
    sigma_old = 0.0
    for k in range(num_iters):
        # Вычисляем y = A * v (размер m)
        y = np.dot(A, v)

        # Вычисляем z = A^T * y (размер n)
        z = np.dot(A.T, y)

        # Нормируем z, чтобы получить новый приближённый v_new
        norm_z = np.linalg.norm(z)

        if norm_z == 0:
            # Выродившийся случай: все значения нули => сингулярная величина 0
            return 0.0, np.zeros(m), np.zeros(n)

        v_new = z / norm_z

        # Текущее приближение sigma, через ||A v_new||
        sigma_new = np.linalg.norm(A @ v_new)
        sigma_vals.append(sigma_new)

        # Критерий остановки
        if np.linalg.norm(v_new - v) < tol:
            v = v_new
            if verbose:
                print(f"Итерация {k+1:4d}: сходимость по вектору (||v_new - v_old|| = {np.linalg.norm(v_new - v):.2e}).")
            break

        # Обновляем для следующей итерации
        v = v_new
        sigma_old = sigma_new

        if verbose and (k + 1) % 50 == 0:
            print(f"Итерация {k+1:4d}: текущее приближение sigma ~ {sigma_new}")

    else:
        # Если не сработало условие tol
        sigma = sigma_new
        if verbose:
            print(f"Достигнут максимум итераций ({num_iters}). sigma ~ {sigma}")

    # Теперь у нас есть приближённый правый сингулярный вектор v и sigma.
    # Вычислим левый сингулярный вектор u = (A * v) / sigma.
    # При этом A * v = y (для последней итерации) - можем вычислить заново:
    y_final = np.dot(A, v)
    norm_y_final = np.linalg.norm(y_final)

    if norm_y_final == 0:
        # Вырождение
        u = np.zeros(m)
    else:
        u = y_final / norm_y_final

    sigma = norm_y_final

    return sigma_vals, sigma, u, v
```

Позволяет найти ведущий собственный вектор и собственное значение квадратной матрицы  $M$ . Для поиска ведущего сингулярного числа  $A$  применяют его к  $M = A^T A$

1. Инициализировать случайный  $v^0 \in \mathbb{R}^n, \|v^0\| = 1$ .
2. Повторять  $k = 0, 1, \dots$  до сходимости:

$$y^k = A v^k$$

$$z^k = A^T y^k = A^T A v^k,$$

$$v^{k+1} = \frac{z^k}{\|z^k\|}$$

$$\sigma^{k+1} = \|A v^{k+1}\|$$

Останавливаются, когда  $\|v^{k+1} - v^k\| < \text{tol}$  или при  $\text{max\_iter}$ .

3. При сходимости  $v^k \rightarrow v_1, \sigma^k \rightarrow \sigma_1$ . Левый сингулярный вектор  $u_1 = \frac{A v_1}{\sigma_1}$

Сложность одной итерации: два умножения «матрица  $\times$  вектор»  $O(mn)$  + вычисление норм  $O(m)$  и  $O(n)$

```

Ns = [1, 5, 10, 30]
tol = 1e-30

for N in Ns:
    # Канал R
    sigma_vals_R, sigma_R, u_R, v_R = step_method_for_svd(R, num_iters=N, tol=tol)
    R_approx = sigma_R * np.outer(u_R, v_R)
    err_R = np.linalg.norm(R - R_approx, ord='fro')

    # Канал G
    sigma_vals_G, sigma_G, u_G, v_G = step_method_for_svd(G, num_iters=N, tol=tol)
    G_approx = sigma_G * np.outer(u_G, v_G)
    err_G = np.linalg.norm(G - G_approx, ord='fro')

    # Канал B
    sigma_vals_B, sigma_B, u_B, v_B = step_method_for_svd(B, num_iters=N, tol=tol)
    B_approx = sigma_B * np.outer(u_B, v_B)
    err_B = np.linalg.norm(B - B_approx, ord='fro')

    print(f"\n=== N = {N} итераций ===")
    print(f"Канал R:  $\sigma = \{\text{sigma R}\}$ ,  $\|R - \sigma * u * v^T\|_F = \{\text{err R}\}$ ")
    print(f"Канал G:  $\sigma = \{\text{sigma G}\}$ ,  $\|G - \sigma * u * v^T\|_F = \{\text{err G}\}$ ")
    print(f"Канал B:  $\sigma = \{\text{sigma B}\}$ ,  $\|B - \sigma * u * v^T\|_F = \{\text{err B}\}$ ")

```

Проводим эксперимент при  $N = \{1, 5, 10, 30\}$  итерациях. Для каждого  $N$ :

1. Получаем  $\sigma^{(N)}, u^{(N)}, v^{(N)}$
2. Строим rank-1 приближение  $A \quad A_{\text{rank-1}}^{(N)} = \sigma^{(N)} u^{(N)} (v^{(N)})^T$
3. Считаем Фробениус-норму ошибки:

$$\text{err}_F^{(N)} = \|A - A_{\text{rank-1}}^{(N)}\|_F$$

```

=== N = 1 итераций ===
Канал R:  $\sigma = 952.5278595859724$ ,  $\|R - \sigma * u * v^T\|_F = 672.7650810575864$ 
Канал G:  $\sigma = 860.2620595430451$ ,  $\|G - \sigma * u * v^T\|_F = 651.4223340505292$ 
Канал B:  $\sigma = 1215.7793646447767$ ,  $\|B - \sigma * u * v^T\|_F = 936.5645162535521$ 

=== N = 5 итераций ===
Канал R:  $\sigma = 966.3540028694986$ ,  $\|R - \sigma * u * v^T\|_F = 652.7496600657497$ 
Канал G:  $\sigma = 876.295662994032$ ,  $\|G - \sigma * u * v^T\|_F = 629.6886368729637$ 
Канал B:  $\sigma = 1350.5661089604578$ ,  $\|B - \sigma * u * v^T\|_F = 728.8646938415363$ 

=== N = 10 итераций ===
Канал R:  $\sigma = 966.354003845593$ ,  $\|R - \sigma * u * v^T\|_F = 652.7496586207043$ 
Канал G:  $\sigma = 876.2956629950318$ ,  $\|G - \sigma * u * v^T\|_F = 629.6886368715725$ 
Канал B:  $\sigma = 1350.566108960464$ ,  $\|B - \sigma * u * v^T\|_F = 728.8646938415249$ 

=== N = 30 итераций ===
Канал R:  $\sigma = 966.3540038455931$ ,  $\|R - \sigma * u * v^T\|_F = 652.7496586207047$ 
Канал G:  $\sigma = 876.2956629950318$ ,  $\|G - \sigma * u * v^T\|_F = 629.6886368715723$ 
Канал B:  $\sigma = 1350.566108960464$ ,  $\|B - \sigma * u * v^T\|_F = 728.864693841525$ 

```

$N = 1$  итерация:

После одной итерации векторы  $u, v$  ещё очень далеки от истинных ведущих сингулярных векторов. Из-за этого оценка  $\sigma$  занижена (по сравнению с тем, что она будет в более точном разложении) и ошибка достаточно велика.

$N = 5$  итераций:

К пятой итерации ведущие сингулярные числа уже приблизились почти к своему «истинному» значению (полный SVD). Ошибки упали заметно по сравнению с  $N=1$ .

$N = 10$  итераций:

Значения  $\sigma$  и соответствующие ошибки практически не изменились по сравнению с  $N=5$ . Это говорит о том, что сходимость по ведущему сингулярному числу завершилась уже к  $N \approx 5$  дальнейшие итерации дают лишь незначительные численные изменения.

$N = 30$  итераций:

При  $N=30$  цифры полностью совпадают с тем, что мы видим при  $N=10$ , с точностью до порядка машинных погрешностей. Это означает, что после 10 итераций степенной метод уже практически достиг стационарного значения  $\sigma_1$  и «векторная» составляющая перестала существенно меняться.

```
U_R, S_R, Vt_R = np.linalg.svd(R, full_matrices=False)
U_G, S_G, Vt_G = np.linalg.svd(G, full_matrices=False)
U_B, S_B, Vt_B = np.linalg.svd(B, full_matrices=False)
```

## Полный SVD и распределение сингулярных чисел

Пусть  $A$  — матрица размера  $m \times n$ . Её сингулярное разложение:

$$A = U \Sigma V^T, \text{ где}$$

- $U(m \times m)$  — ортогональная матрица ( $U^T U = I$ ), столбцы  $u_i$  — левые сингулярные векторы.
- $\Sigma$  —  $m \times n$  диагональная матрица,  $\Sigma_{ii} = \sigma_i \geq 0, \sigma_1 \geq \sigma_2 \geq \dots \geq \sigma_r, r = \min(m, n)$ .
- $V(n \times n)$  — ортогональная матрица ( $V^T V = I$ ), столбцы  $v_i$  — правые сингулярные векторы.

Свойства:

$$A^T A = V \Sigma^T \Sigma V^T, \quad A A^T = U \Sigma \Sigma^T U^T,$$

откуда  $\lambda_i(A^T A) = \sigma_i^2$ .

Усечённое разложение ранга  $k$ :

$$A_k = \sum_{i=1}^k \sigma_i u_i v_i^T = U_k \Sigma_k V_k^T,$$

где  $U_k(m \times k), \Sigma_k = (\sigma_1, \dots, \sigma_k), V_k(n \times k)$

По теореме Эккхарта–Канторовича это минимизирует  $\|A - B\|_F$  среди матриц ранга  $\leq k$ .

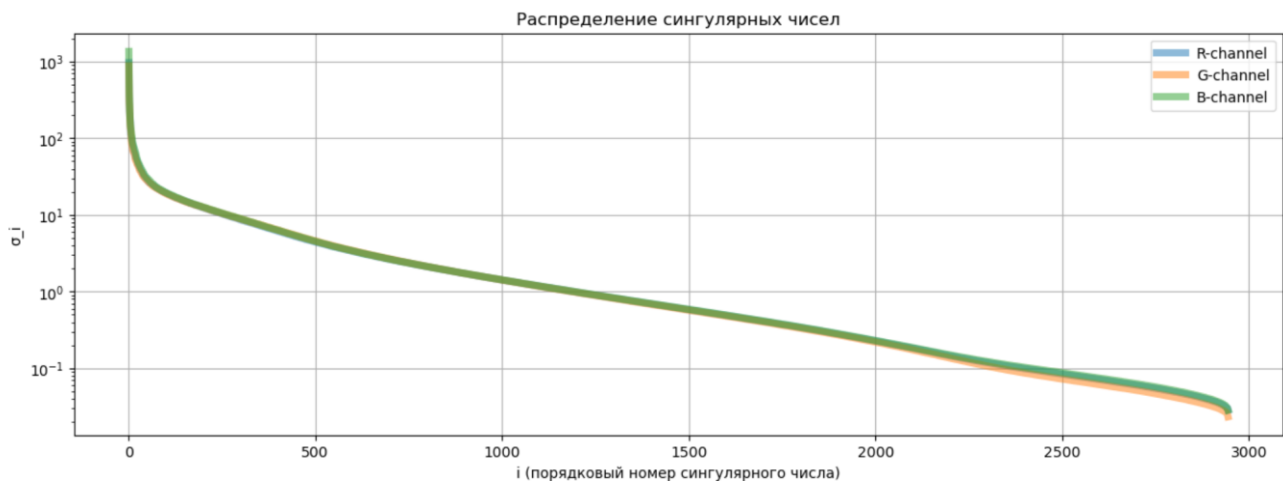


Рисунок 4. Распределение сингулярных чисел (ось Y в лог-шкале)

Из графика видно, что  $\sigma_i$  быстро убывают: большинство энергии сосредоточено в первых ~50–100 компонентах.



## Усечённый SVD: восстановление изображения

```
def low_rank_approximation(U, S, Vt, k: int):  
  
    # Берём первые k сингулярных чисел и векторов  
    U_k = U[:, :k]  
    Sigma_k = np.diag(S[:k])  
    Vt_k = Vt[:k, :]  
  
    # Умножаем обратно, получаем A_k  
    A_k = U_k @ Sigma_k @ Vt_k  
    return A_k  
  
def reconstruct_image(R_approx, G_approx, B_approx):  
  
    # Стекуем каналы по третьей оси  
    img_approx = np.dstack((R_approx, G_approx, B_approx))  
  
    # Ограничим значения, чтобы не выходили за [0,1] из-за численных погрешностей  
    img_approx = np.clip(img_approx, 0.0, 1.0)  
  
    return img_approx
```

### Визуализация эксперимента:



Рисунок 5. Сравнение оригинального и восстановленного изображения (при  $k = 20$ )



Рисунок 6. Сравнение оригинального и восстановленного изображения (при  $k = 50$ )



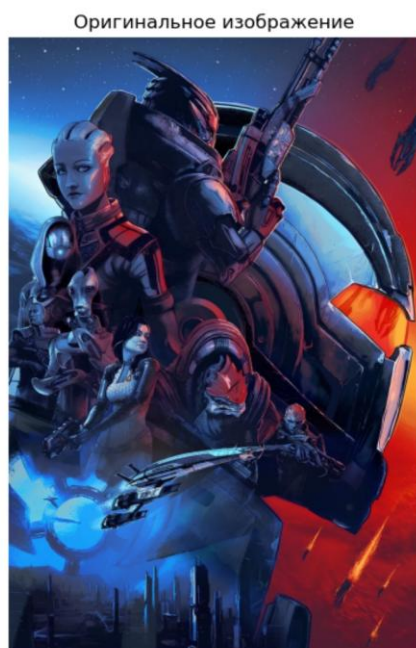


Рисунок 6. Сравнение оригинального и восстановленного изображения (при  $k = 100$ )



Рисунок 7. Сравнение оригинального и восстановленного изображения (при  $k = 500$ )

Мы видим, что при  $k = 500$  мы получаем картинку неотличимую от оригинала

Подсчет ошибок при  $k = [1, 10, 20, 50, 100, 150, 300, 500, 750, 1000]$

```
ks = [1, 10, 20, 50, 100, 150, 300, 500, 750, 1000]
errors = []
for k_val in ks:
    R_k_temp = low_rank_approximation(U_R, S_R, Vt_R, k_val)
    G_k_temp = low_rank_approximation(U_G, S_G, Vt_G, k_val)
    B_k_temp = low_rank_approximation(U_B, S_B, Vt_B, k_val)
    err_R_temp = np.linalg.norm(R - R_k_temp, ord='fro')
    err_G_temp = np.linalg.norm(G - G_k_temp, ord='fro')
    err_B_temp = np.linalg.norm(B - B_k_temp, ord='fro')

    err_total_temp = np.sqrt(err_R_temp**2 + err_G_temp**2 + err_B_temp**2)
    errors.append(err_total_temp)
```

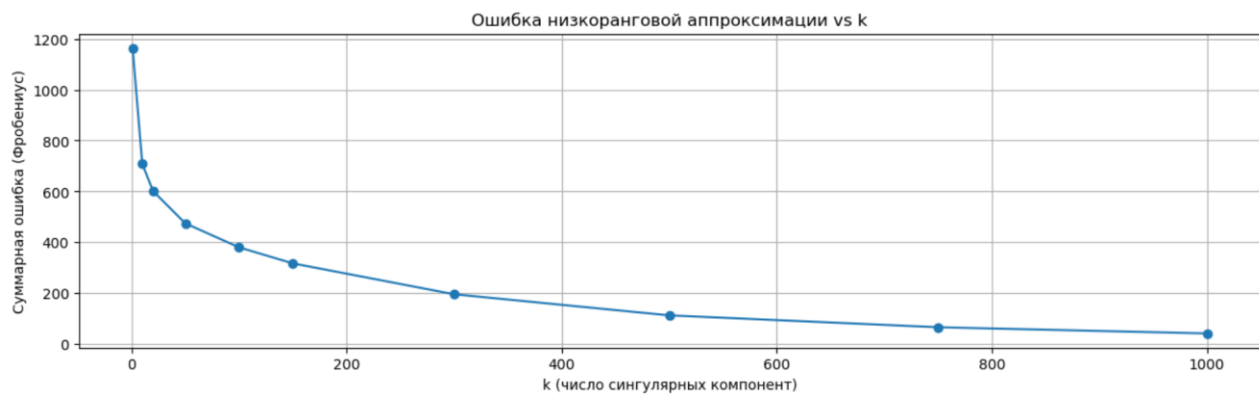


Рисунок 8. График отображающий ошибку низкоранговой аппроксимации от  $k$  сингулярных компонент.

Ошибка Фробениуса:

$$\text{err}_F^{(N)} = \|A - A_{\text{rank-1}}^{(N)}\|_F$$

где  $A_{\text{rank-1}}^{(N)} = \sigma^{(N)} u^{(N)} (v^{(N)})^T$

## Сравнение с методом Якоби

```
def jacobi_eigenvalues(M, tol=1e-8, max_iter=500):
    A = M.copy()
    n = A.shape[0]
    dominant_eig_history = []
    def max_offdiag(A):
        max_val = 0.0
        p = 0; q = 1
        for i in range(n):
            for j in range(i+1, n):
                if abs(A[i, j]) > max_val:
                    max_val = abs(A[i, j]); p, q = i, j
        return p, q, max_val

    for iteration in range(max_iter):
        p, q, max_val = max_offdiag(A)
        if max_val < tol:
            break
        if A[p, p] == A[q, q]:
            phi = np.pi / 4
        else:
            phi = 0.5 * np.arctan2(2*A[p, q], (A[q, q] - A[p, p]))
        c = np.cos(phi); s = np.sin(phi)

        Ap = A.copy()
        for i in range(n):
            if i not in (p, q):
                Ap[i, p] = c*A[i, p] - s*A[i, q]; Ap[p, i] = Ap[i, p]
                Ap[i, q] = s*A[i, p] + c*A[i, q]; Ap[q, i] = Ap[i, q]
        Ap[p, p] = c*c*A[p, p] - 2*s*c*A[p, q] + s*s*A[q, q]
        Ap[q, q] = s*s*A[p, p] + 2*s*c*A[p, q] + c*c*A[q, q]
        Ap[p, q] = 0.0; Ap[q, p] = 0.0
        A = Ap.copy()

        dominant_eig_history.append(np.max(np.diag(A)))

    eigenvalues = np.diag(A)
    return eigenvalues, dominant_eig_history
```

## Метод вращений Якоби

Предназначен для нахождения всех собственных значений симметричной матрицы  $M \in \mathbb{R}^{n \times n}$ .

Алгоритм:

1. Находят максимальный по модулю вне-диагональный элемент  $M_{pq}$ ,  $p < q$ .
  2. Вычисляют угол:  
$$\varphi = \frac{\pi}{4}, \text{ если } M_{pp} = M_{qq},$$
$$\varphi = \left(\frac{1}{2}\right) \arctan\left(\frac{2M_{pq}}{(M_{qq}-M_{pp})}\right), \text{ иначе.}$$
  3. Формируют матрицу поворота  $J(p, q, \varphi)$ , обновляют  $M := J^T M J$  — этот шаг «обнуляет» элемент  $M_{pq}$ .
  4. Повторяют, пока  $\max_{i < j} |M_{ij}| < \text{tol}$ . В конце  $M \sim \text{diag}(\lambda_1, \dots, \lambda_n)$ .
- Сложность шага: поиск max вне-диагонального  $O(n^2)$ , обновление строк и столбцов  $O(n)$ .  
Обычно требуется  $O(n^2)$ , итераций  $\rightarrow O(n^4)$ , но на практике  $\sim O(n^3)$ .

## Применение к каналу R

```
M_R = R.T @ R
eigvals_R_jacobi, history_R_jacobi = jacobi_eigenvalues(M_R, tol=1e-10,
max_iter=500)
singulars_R_jacobi = np.sort(np.sqrt(np.abs(eigvals_R_jacobi)))[:-1]
```

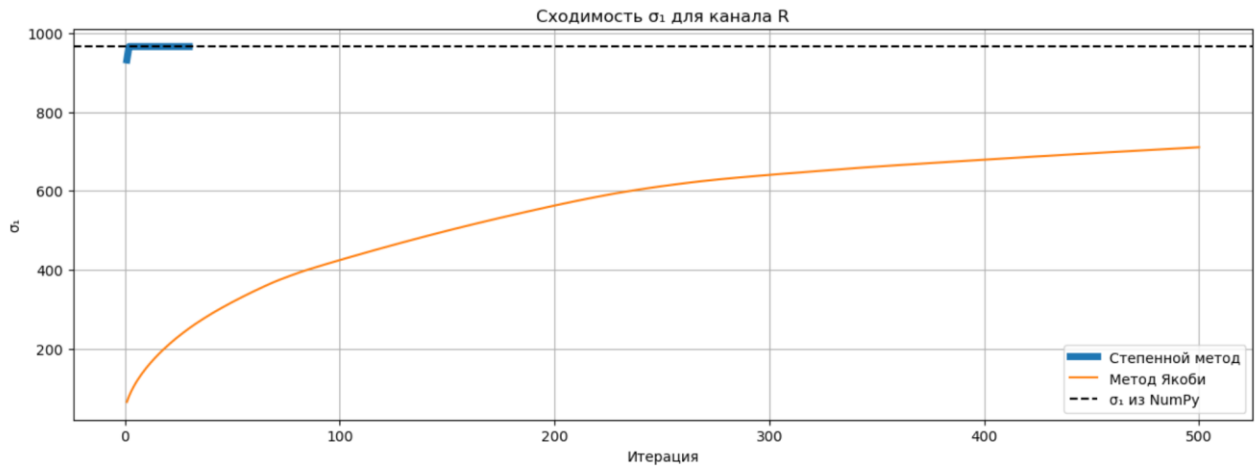


Рисунок 8. График сходимости  $\sigma_1$  для канала R. Сравнение Степенного метода и метода Якоби

Мы видим, что Степенной метод на 30 итерации сравнялся с  $\sigma_1$  из NumPy, когда метод Якоби не достиг этого даже на 500 итерации. Следовательно Степенной метод эффективнее для нахождения  $\sigma_1$ .

Гистограммы глубины цвета:

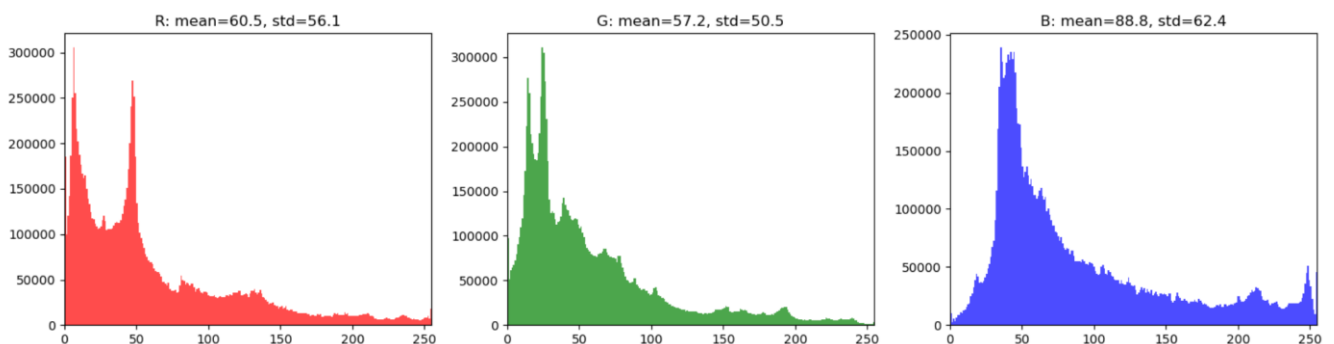
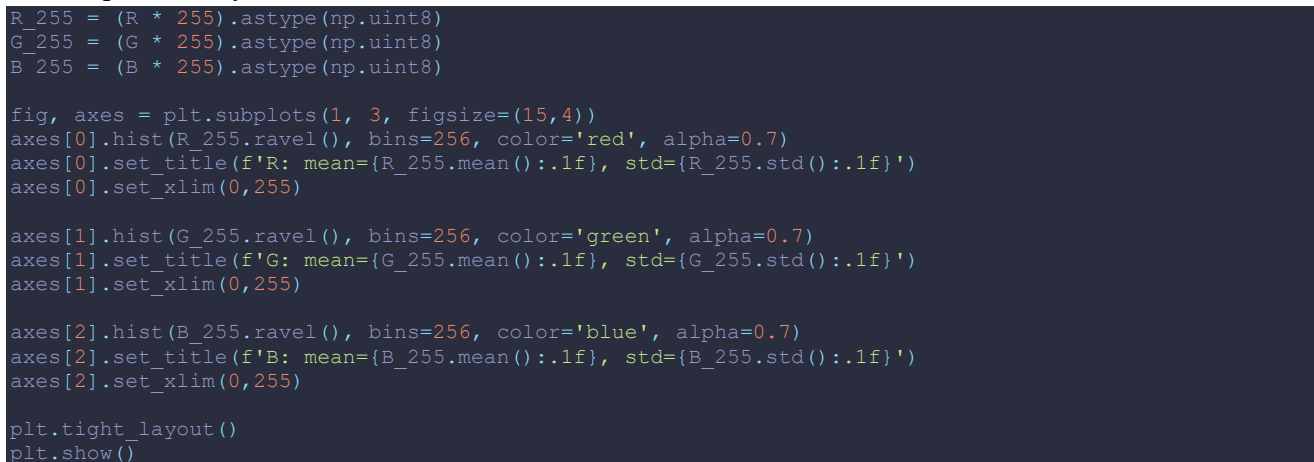


Рисунок 9. Гистограммы глубины цвета

Широкие гистограммы соответствуют большому разбросу яркостей, что влияет на выбор числа  $k$  в усечённом SVD.

В данной работе были реализованы и исследованы следующие методы:

1. Степенной метод для вычисления наибольшего сингулярного числа  $\sigma_1$  и векторов  $u_1, v_1$ .

- Показано, что уже при  $N \approx 10$  итерациях ошибка rank-1 приближения близка к оптимальной.
- Основная затрата:  $O(K \cdot m \cdot n)$ , где  $K$  — число итераций.

2. Метод вращений Якоби для нахождения всех собственных значений  $M = A^T A \rightarrow$  всех  $\sigma_i$

- Сравнение первых 15  $\sigma_i$  не показало точного совпадения с NumPy
- Якоби требует порядка  $O(n^3)$  операций, что существенно больше, чем степенной метод для одного  $\sigma_1$ .

3. Полный SVD (NumPy) для каналов R, G, B:

- Анализ распределения  $\sigma_i$  (рис. 4) показал, что  $\sigma_i$  быстро убывают.
- Усечённый SVD с  $k = 100$  обеспечивает визуально приемлемое восстановление (рис. 6), а с  $k = 500$  — даёт неотличимый от оригинала результат (рис. 7).

При этом суммарная ошибка  $\|A - A_k\|_F$  уменьшается с ростом  $k$ .

4. Построены гистограммы глубины цвета (рис. 9), вычислены средние и стандартные отклонения.

- Гистограммы показывают разброс яркостей в каждом канале, что позволяет обосновать количество необходимых  $\sigma_i$  для низкорангового приближения.